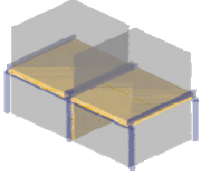
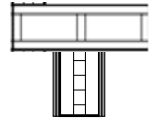
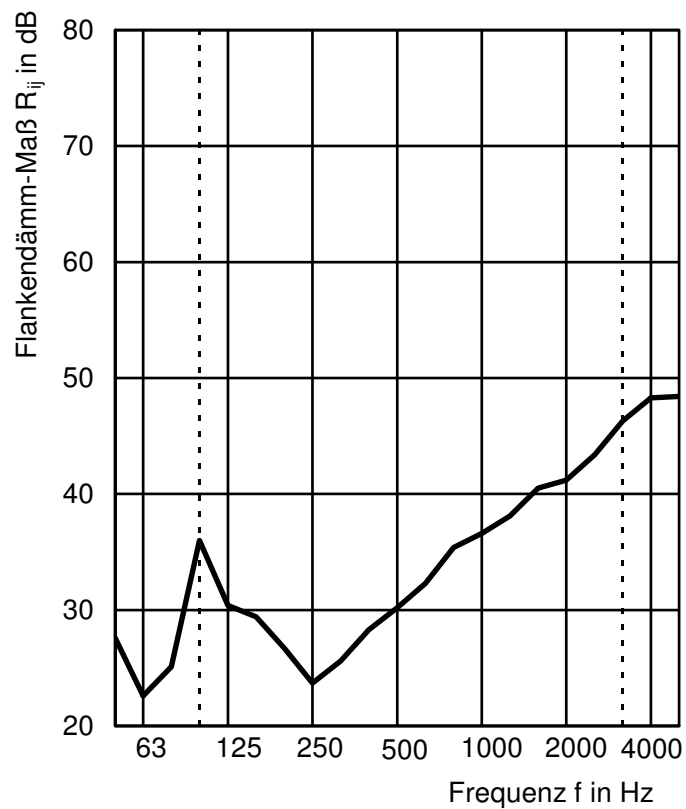


### Horizontaler T-Stoß, Decke durchlaufend

Aufbauvariante	1a_B_02	
Flanke	200 mm Lignatur LFE	$m' = 40 \text{ kg/m}^2$
Trennwand	140 mm BSP + beidseitig 2 x 18 mm GF	$m' = 159 \text{ kg/m}^2$
$m'_{\text{Wand}} / m'_{\text{Decke}}$	3,98	
Kopplungslänge	$l_{ij} = 4,3 \text{ m}$	 
Bauteilfläche Trennwand	$S_{Dd} = 10,8 \text{ m}^2$	
Bauteilfläche Flanke SR	$S_F = 20 \text{ m}^2$	
Bauteilfläche Flanke ER	$S_f = 21,5 \text{ m}^2$	
Empfangsraumvolumen	$V_E = 63,4 \text{ m}^3$	
Senderraumvolumen	$V_S = 65,2 \text{ m}^3$	

Bewertetes Flankendämm-Maß  $R_{Ff,w} = 35 \text{ dB}$

f in Hz	X67 $R_{Ff}$ in dB
50	27,6
63	22,6
80	25,1
100	36,0
125	30,4
160	29,4
200	26,7
250	23,7
315	25,6
400	28,3
500	30,2
630	32,3
800	35,4
1000	36,6
1250	38,1
1600	40,5
2000	41,2
2500	43,4
3150	46,3
4000	48,3
5000	48,4

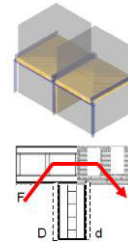


— Flankendämm-Maß  $R_{Ff}$

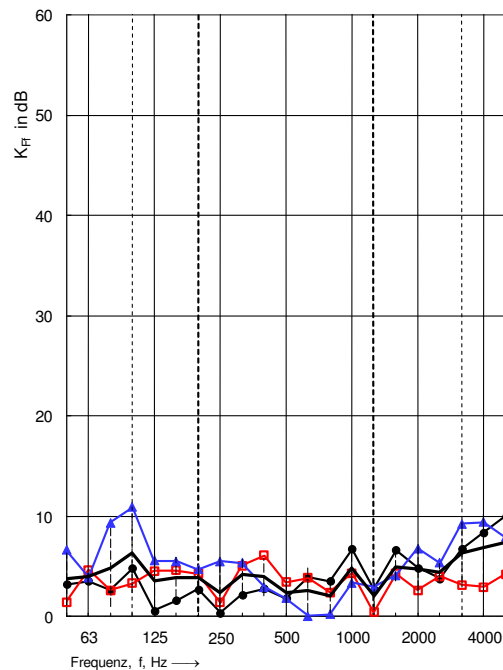
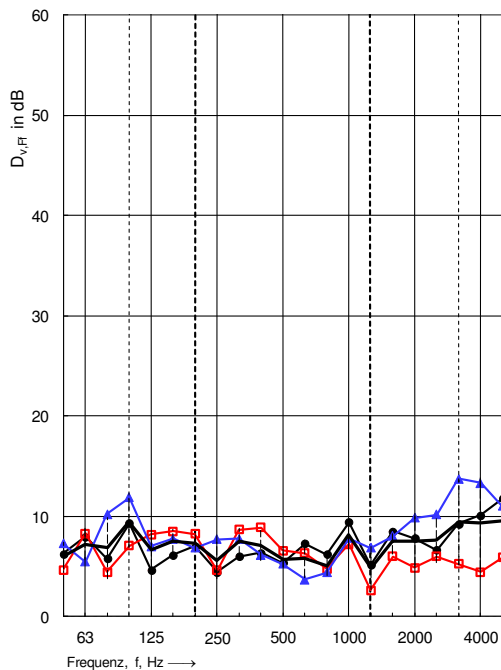
### Kopplungsgrößen Stoßtyp 1a\_BC, Übertragungsweg Ff:

Prüf.Nr.:	Flanke	Trennwand	$\frac{m^2_{Wand}}{m^2_{Decke}}$
1a_B_01	200 LFE	80 BSP	0,98
1a_B_02	200 LFE	2x18 GF / 140 BSP / 2x18 GF	3,98
1a_C_01	196 Rippe Q3	80 BSP	0,8

Abmessungen
$l_{ij} = 4,3 \text{ m}$
$S_{Dd} = 10,8 \text{ m}^2$
$S_F = 21,5 \text{ m}^2$
$S_I = 20 \text{ m}^2$



f in Hz	$D_{v,Ff}$ in dB			$\bar{x}$	$\sigma$	f in Hz	$K_{Ff}$ in dB			$\bar{x}$	$\sigma$
50	4,6	6,3	7,3	6,1	1,3	50	1,4	3,2	6,6	3,8	2,6
63	8,3	7,9	5,5	7,2	1,5	63	4,6	3,5	3,9	4,0	0,6
80	4,4	5,8	10,2	6,8	3,0	80	2,6	2,6	9,4	4,9	3,9
100	7,1	9,3	11,9	9,4	2,4	100	3,3	4,8	10,9	6,3	4,0
125	8,2	4,7	7,0	6,6	1,8	125	4,5	0,6	5,6	3,5	2,6
160	8,5	6,2	7,7	7,5	1,2	160	4,6	1,6	5,5	3,9	2,0
200	8,2	7,0	6,8	7,3	0,8	200	4,3	2,7	4,7	3,9	1,0
250	4,6	4,5	7,7	5,6	1,8	250	1,4	0,4	5,5	2,4	2,7
315	8,7	6,0	7,7	7,5	1,4	315	5,1	2,2	5,3	4,2	1,8
400	8,9	6,4	6,1	7,1	1,5	400	6,1	2,8	2,9	3,9	1,9
500	6,6	5,4	5,2	5,7	0,8	500	3,4	1,8	1,8	2,3	0,9
630	6,3	7,3	3,7	5,8	1,9	630	3,8	3,9	0,1	2,6	2,2
800	4,7	6,2	4,4	5,1	1,0	800	2,4	3,5	0,2	2,0	1,7
1000	7,2	9,4	7,8	8,2	1,1	1000	4,3	6,8	3,4	4,8	1,7
1250	2,6	5,1	6,8	4,9	2,1	1250	0,4	2,7	2,9	2,0	1,4
1600	6,0	8,5	8,0	7,5	1,3	1600	4,3	6,6	4,1	5,0	1,4
2000	4,9	7,8	9,8	7,5	2,5	2000	2,6	4,9	6,8	4,7	2,1
2500	6,0	6,6	10,2	7,6	2,2	2500	4,0	3,8	5,3	4,4	0,8
3150	5,2	9,3	13,7	9,4	4,3	3150	3,2	6,7	9,3	6,4	3,1
4000	4,4	10,1	13,3	9,3	4,5	4000	3,0	8,4	9,4	6,9	3,5
5000	5,9	11,7	11,0	9,6	3,2	5000	4,2	10,0	7,9	7,4	2,9
$D_{v,Ff,n}$	-0,4	-0,5	-0,6	-0,5		$K_{Ff}$	3,5	3,0	3,0	3,1	

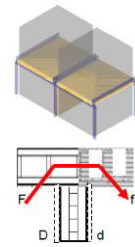


**Abbildung 13**  $D_{v,ij}$ ;  $K_{ij}$ , Horizontaler T-Stoß – Hohlkastendecke durchlaufend, Trennbauteil z.T. mit Beplankung: Messdaten  $D_{v,Ff}$  mit zugehörigen Messkurven (links), Messdaten  $K_{Ff}$  mit zugehörigen Messkurven (rechts)



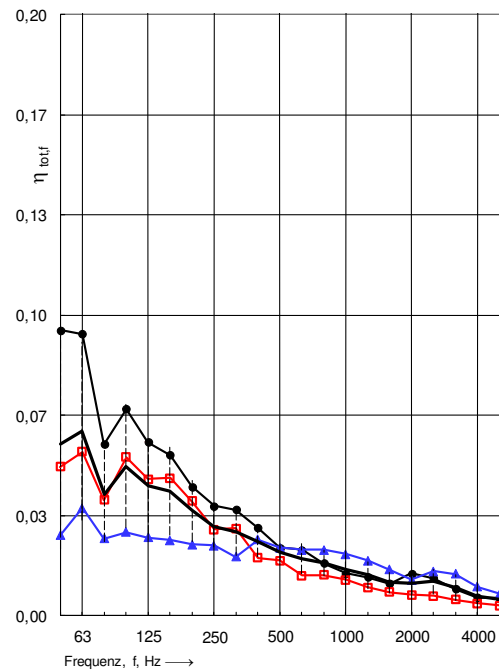
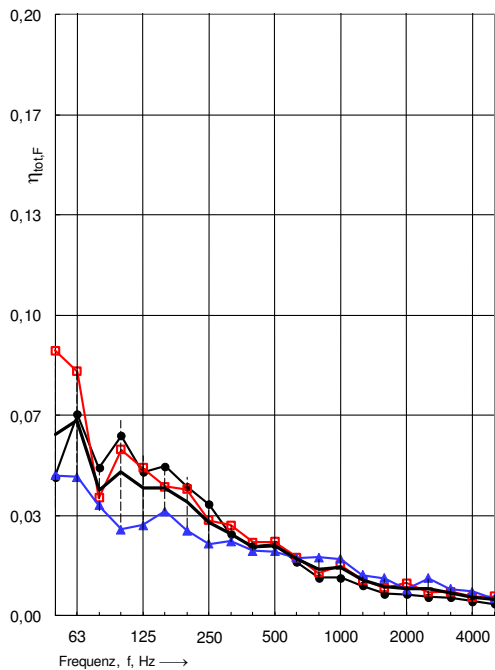
**Gesamt Verlustfaktoren der Stoßbauteile, Stoßtyp 1a\_BC, Übertragungsweg Ff:**

Prüf.Nr.:	Flanke	Trennwand	$\frac{m^2_{Wand}}{m^2_{Decke}}$	Abmessungen
1a_B_01	200 LFE	80 BSP	0,98	$l_{ij} = 4,3 \text{ m}$
1a_B_02	200 LFE	2x18 GF / 140 BSP / 2x18 GF	3,98	$S_{Dd} = 10,8 \text{ m}^2$
1a_C_01	196 Rippe Q3	80 BSP	0,8	$S_F = 21,5 \text{ m}^2$
				$S_i = 20 \text{ m}^2$



f in Hz	$\eta_{tot,F}$	$\bar{x}$	$\sigma$
50	0,088	0,060	0,024
63	0,081	0,065	0,018
80	0,039	0,042	0,007
100	0,055	0,048	0,017
125	0,049	0,042	0,011
160	0,043	0,043	0,008
200	0,042	0,038	0,008
250	0,032	0,031	0,007
315	0,030	0,027	0,003
400	0,024	0,023	0,001
500	0,025	0,023	0,002
630	0,019	0,019	0,001
800	0,014	0,015	0,003
1000	0,017	0,016	0,003
1250	0,012	0,012	0,002
1600	0,009	0,010	0,003
2000	0,011	0,009	0,002
2500	0,008	0,009	0,003
3150	0,008	0,008	0,001
4000	0,006	0,006	0,002
5000	0,006	0,005	0,001

f in Hz	$\eta_{tot,f}$	$\bar{x}$	$\sigma$
50	0,049	0,057	0,035
63	0,055	0,061	0,029
80	0,039	0,040	0,016
100	0,053	0,050	0,021
125	0,045	0,043	0,016
160	0,046	0,041	0,015
200	0,038	0,035	0,010
250	0,029	0,030	0,007
315	0,029	0,028	0,008
400	0,019	0,025	0,005
500	0,018	0,021	0,002
630	0,013	0,019	0,005
800	0,013	0,018	0,004
1000	0,012	0,015	0,004
1250	0,009	0,014	0,004
1600	0,008	0,011	0,004
2000	0,007	0,011	0,004
2500	0,007	0,011	0,004
3150	0,005	0,009	0,004
4000	0,004	0,007	0,003
5000	0,003	0,006	0,002

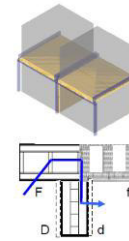


**Abbildung 14**  $\eta_{tot}$ : Horizontaler T-Stoß – Hohlkastendecke durchlaufend, Trennbauteil z.T. mit Beplankung: Messdaten  $\eta_{tot,F}$  mit zugehörigen Messkurven (links), Messdaten  $\eta_{tot,f}$  mit zugehörigen Messkurven (rechts)

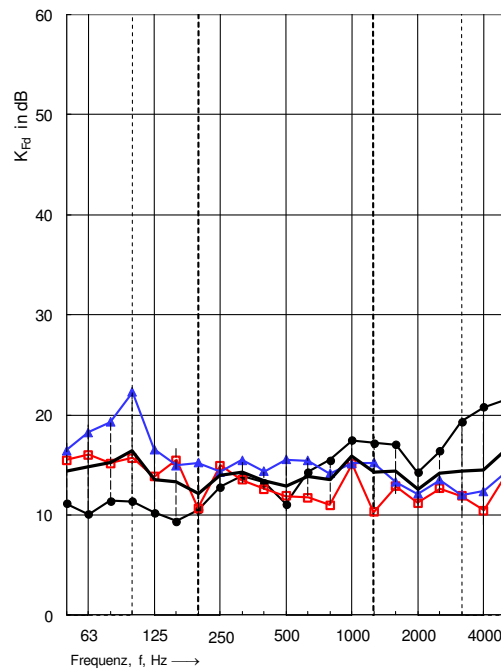
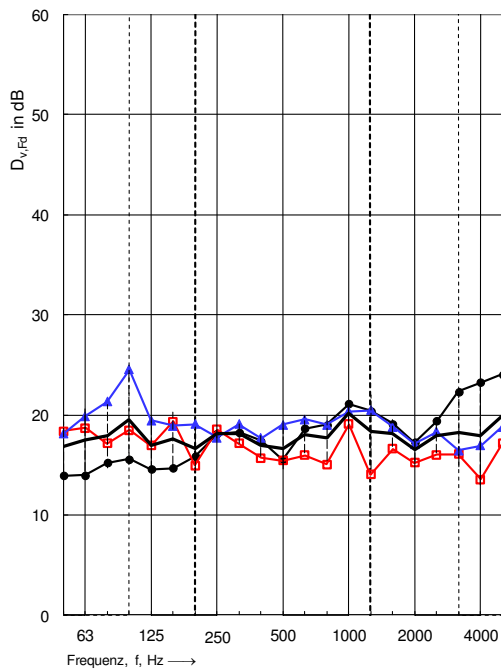
### Kopplungsgrößen Stoßtyp 1a\_BC, Übertragungsweg Fd:

Prüf.Nr.:	Flanke	Trennwand	$\frac{m^2_{Wand}}{m_{Decke}}$
1a_B_01	200 LFE	80 BSP	0,98
1a_B_02	200 LFE	2x18 GF / 140 BSP / 2x18 GF	3,98
1a_C_01	196 Rippe Q3	80 BSP	0,8

Abmessungen
$l_{ij} = 4,3 \text{ m}$
$S_{Dd} = 10,8 \text{ m}^2$
$S_F = 21,5 \text{ m}^2$
$S_I = 20 \text{ m}^2$



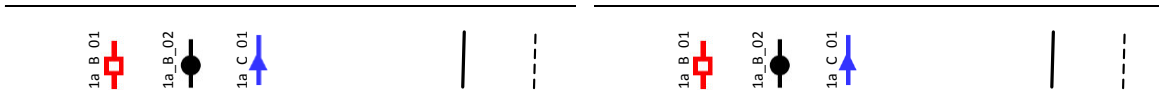
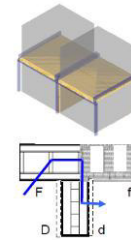
D <sub>v,Fd</sub> in dB					K <sub>Fd</sub> in dB						
f in Hz	D <sub>v,Fd</sub> in dB			$\bar{x}$	$\sigma$	f in Hz	K <sub>Fd</sub> in dB			$\bar{x}$	$\sigma$
50	18,4	13,9	18,1	16,8	2,5	50	15,5	11,2	16,4	14,4	2,8
63	18,7	14,0	19,8	17,5	3,1	63	16,0	10,1	18,2	14,8	4,2
80	17,1	15,2	21,3	17,9	3,1	80	15,2	11,4	19,3	15,3	3,9
100	18,5	15,6	24,5	19,5	4,5	100	15,7	11,4	22,3	16,5	5,5
125	16,9	14,6	19,4	17,0	2,4	125	13,8	10,3	16,6	13,5	3,2
160	19,3	14,7	18,9	17,6	2,6	160	15,5	9,4	14,9	13,3	3,4
200	14,9	15,9	19,1	16,6	2,2	200	10,7	10,5	15,2	12,1	2,7
250	18,5	18,1	17,8	18,1	0,4	250	14,9	12,8	14,3	14,0	1,1
315	17,1	18,3	19,1	18,1	1,0	315	13,5	13,9	15,5	14,3	1,0
400	15,7	17,4	17,7	16,9	1,1	400	12,6	13,2	14,3	13,4	0,9
500	15,4	15,5	19,0	16,7	2,0	500	11,9	11,1	15,6	12,8	2,4
630	16,0	18,7	19,6	18,1	1,9	630	11,7	14,3	15,4	13,8	1,9
800	15,1	19,0	19,0	17,7	2,3	800	11,0	15,5	14,2	13,5	2,3
1000	19,1	21,1	20,3	20,2	1,0	1000	15,1	17,5	15,2	15,9	1,3
1250	14,0	20,4	20,5	18,3	3,7	1250	10,3	17,2	15,2	14,2	3,6
1600	16,6	19,1	18,8	18,2	1,4	1600	12,9	17,0	13,3	14,4	2,3
2000	15,2	17,3	17,1	16,5	1,1	2000	11,2	14,2	12,1	12,5	1,6
2500	16,0	19,4	18,3	17,9	1,7	2500	12,7	16,4	13,5	14,2	2,0
3150	16,1	22,3	16,4	18,3	3,5	3150	11,9	19,3	12,0	14,4	4,3
4000	13,6	23,2	16,9	17,9	4,9	4000	10,5	20,8	12,4	14,5	5,5
5000	17,1	24,0	18,8	20,0	3,6	5000	13,9	21,5	14,2	16,6	4,3
D <sub>v,Fd,n</sub>	10,7	12,8	13,6	12,4		K <sub>Fd</sub>	12,4	14,0	15,0	13,8	



**Abbildung 15**  $D_{v,ij}$ ,  $K_{ij}$ : Horizontaler T-Stoß – Hohlkastendecke durchlaufend, Trennbauteil z.T. mit Beplankung: Messdaten  $D_{v,Fd}$  mit zugehörigen Messkurven ( links), Messdaten  $K_{Fd}$  mit zugehörigen Messkurven (rechts)

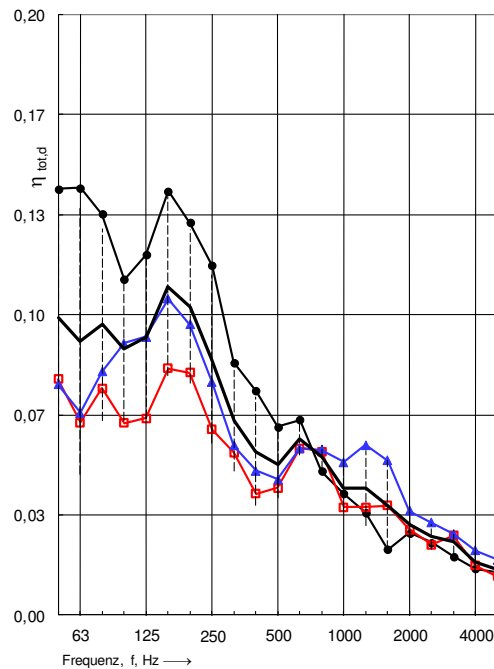
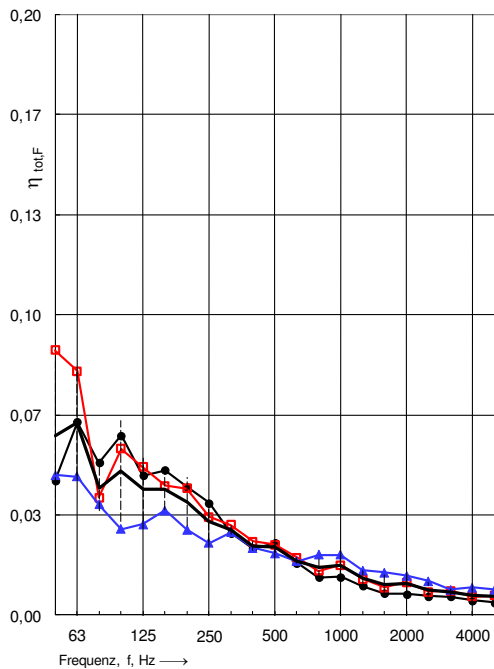
**Gesamt Verlustfaktoren der Stoßbauteile, Stoßtyp 1a\_BC, Übertragungsweg Fd:**

Prüf.Nr.:	Flanke	Trennwand	$\frac{m^2_{Wand}}{m^2_{Decke}}$	Abmessungen
1a_B_01	200 LFE	80 BSP	0,98	$l_{ij} = 4,3 \text{ m}$
1a_B_02	200 LFE	2x18 GF / 140 BSP / 2x18 GF	3,98	$S_{Dd} = 10,8 \text{ m}^2$
1a_C_01	196 Rippe Q3	80 BSP	0,8	$S_F = 21,5 \text{ m}^2$
				$S_i = 20 \text{ m}^2$



f in Hz	$\eta_{tot,F}$			$\bar{x}$	$\sigma$
50	0,088	0,045	0,047	0,060	0,025
63	0,081	0,064	0,046	0,064	0,018
80	0,039	0,051	0,037	0,042	0,007
100	0,055	0,060	0,029	0,048	0,017
125	0,049	0,046	0,030	0,042	0,010
160	0,043	0,048	0,035	0,042	0,007
200	0,042	0,043	0,028	0,038	0,008
250	0,033	0,037	0,024	0,031	0,007
315	0,030	0,027	0,028	0,028	0,002
400	0,024	0,022	0,022	0,023	0,001
500	0,023	0,024	0,021	0,023	0,002
630	0,019	0,017	0,018	0,018	0,001
800	0,015	0,013	0,020	0,016	0,004
1000	0,017	0,013	0,020	0,016	0,004
1250	0,012	0,010	0,015	0,012	0,003
1600	0,009	0,007	0,014	0,010	0,004
2000	0,011	0,007	0,013	0,010	0,003
2500	0,008	0,006	0,011	0,008	0,003
3150	0,008	0,006	0,008	0,008	0,001
4000	0,006	0,005	0,009	0,007	0,002
5000	0,006	0,004	0,008	0,006	0,002

f in Hz	$\eta_{tot,d}$			$\bar{x}$	$\sigma$
50	0,079	0,142	0,077	0,099	0,037
63	0,064	0,142	0,067	0,091	0,044
80	0,076	0,134	0,081	0,097	0,032
100	0,064	0,112	0,090	0,089	0,024
125	0,065	0,120	0,093	0,093	0,027
160	0,082	0,141	0,105	0,110	0,030
200	0,081	0,131	0,097	0,103	0,026
250	0,062	0,116	0,077	0,085	0,028
315	0,054	0,084	0,056	0,065	0,017
400	0,040	0,075	0,048	0,054	0,018
500	0,042	0,063	0,045	0,050	0,011
630	0,056	0,065	0,056	0,059	0,005
800	0,054	0,048	0,055	0,052	0,004
1000	0,036	0,040	0,051	0,042	0,008
1250	0,036	0,034	0,057	0,042	0,012
1600	0,036	0,022	0,051	0,037	0,015
2000	0,028	0,027	0,035	0,030	0,004
2500	0,023	0,024	0,031	0,026	0,004
3150	0,026	0,019	0,027	0,024	0,004
4000	0,016	0,015	0,021	0,018	0,003
5000	0,013	0,014	0,018	0,015	0,003

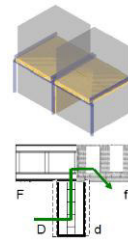


**Abbildung 16**  $\eta_{tot}$  : Horizontaler T-Stoß – Hohlkastendecke durchlaufend, Trennbauteil z.T. mit Beplankung: Messdaten  $\eta_{tot,F}$  mit zugehörigen Messkurven (links); Messdaten  $\eta_{tot,d}$  mit zugehörigen Messkurven (rechts)

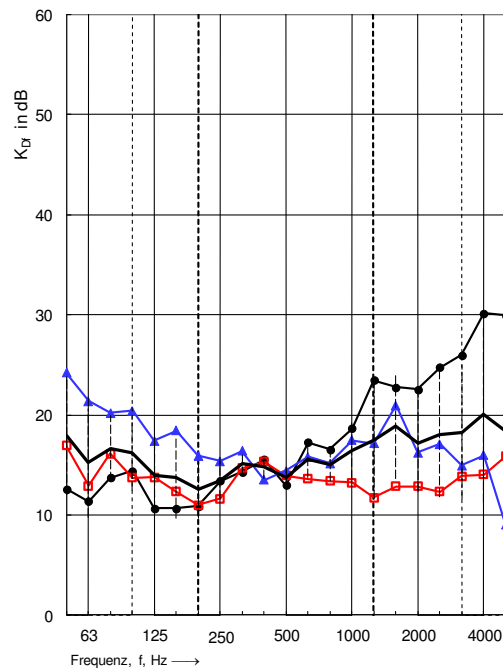
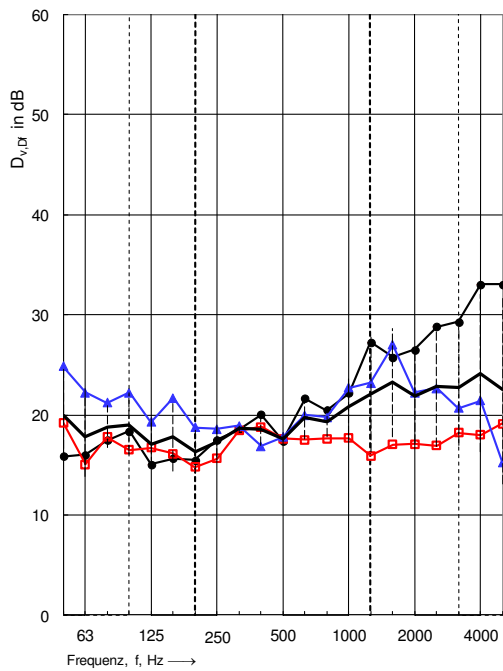
### Kopplungsgrößen Stoßtyp 1a\_BC, Übertragungsweg Df:

Prüf.Nr.:	Flanke	Trennwand	$\frac{m^2_{Wand}}{m^2_{Decke}}$
1a_B_01	200 LFE	80 BSP	0,98
1a_B_02	200 LFE	2x18 GF / 140 BSP / 2x18 GF	3,98
1a_C_01	196 Rippe Q3	80 BSP	0,8

Abmessungen
$l_{ij} = 4,3 \text{ m}$
$S_{Df} = 10,8 \text{ m}^2$
$S_F = 21,5 \text{ m}^2$
$S_I = 20 \text{ m}^2$



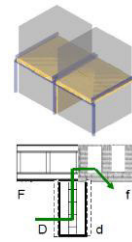
D <sub>v,Df</sub> in dB						K <sub>Df</sub> in dB					
f in Hz	D <sub>v,Df</sub> in dB			$\bar{x}$	$\sigma$	f in Hz	K <sub>Df</sub> in dB			$\bar{x}$	$\sigma$
50	19,3	15,8	24,9	20,0	4,5	50	16,9	12,6	24,2	17,9	5,9
63	15,1	16,0	22,2	17,8	3,9	63	12,9	11,4	21,4	15,2	5,4
80	17,8	17,5	21,2	18,8	2,1	80	16,1	13,7	20,2	16,7	3,3
100	16,5	18,4	22,2	19,0	2,9	100	13,7	14,4	20,4	16,2	3,7
125	16,7	15,1	19,3	17,0	2,1	125	13,8	10,7	17,4	13,9	3,4
160	16,1	15,6	21,7	17,8	3,4	160	12,3	10,6	18,4	13,8	4,1
200	14,8	15,5	18,8	16,3	2,1	200	11,0	10,9	15,9	12,6	2,9
250	15,7	17,5	18,6	17,3	1,5	250	11,6	13,4	15,4	13,5	1,9
315	18,4	18,5	18,9	18,6	0,2	315	14,7	14,3	16,4	15,1	1,1
400	18,8	20,0	16,9	18,6	1,6	400	15,3	15,5	13,5	14,8	1,1
500	17,6	17,4	17,8	17,6	0,2	500	13,9	13,0	14,4	13,8	0,7
630	17,5	21,6	20,0	19,7	2,1	630	13,6	17,2	15,8	15,5	1,8
800	17,6	20,5	19,8	19,3	1,5	800	13,4	16,6	15,2	15,0	1,6
1000	17,7	22,2	22,7	20,9	2,8	1000	13,3	18,6	17,4	16,4	2,8
1250	15,9	27,3	23,2	22,1	5,8	1250	11,7	23,5	17,1	17,4	5,9
1600	17,1	25,8	27,0	23,3	5,4	1600	12,9	22,8	20,9	18,9	5,3
2000	17,1	26,5	22,2	21,9	4,7	2000	12,9	22,5	16,2	17,2	4,9
2500	16,9	28,8	22,6	22,8	5,9	2500	12,3	24,8	17,1	18,1	6,3
3150	18,2	29,3	20,7	22,7	5,8	3150	13,9	26,0	15,0	18,3	6,7
4000	18,0	33,0	21,5	24,2	7,9	4000	14,0	30,1	16,0	20,0	8,8
5000	19,1	33,0	15,3	22,5	9,4	5000	15,9	30,0	9,1	18,3	10,7
D <sub>v,Df,n</sub>	11,8	14,7	14,3	13,6		K <sub>Df</sub>	13,2	15,9	15,7	14,9	



**Abbildung 17**  $D_{v,ij}$ ,  $K_{ij}$ : Horizontaler T-Stoß – Hohlkastendecke durchlaufend, Trennbauteil z.T. mit Beplankung: Messdaten  $D_{v,Df}$  mit zugehörigen Messkurven (links), Messdaten  $K_{Df}$  mit zugehörigen Messkurven (rechts)

**Gesamt Verlustfaktoren der Stoßbauteile, Stoßtyp 1a\_BC, Übertragungsweg Df:**

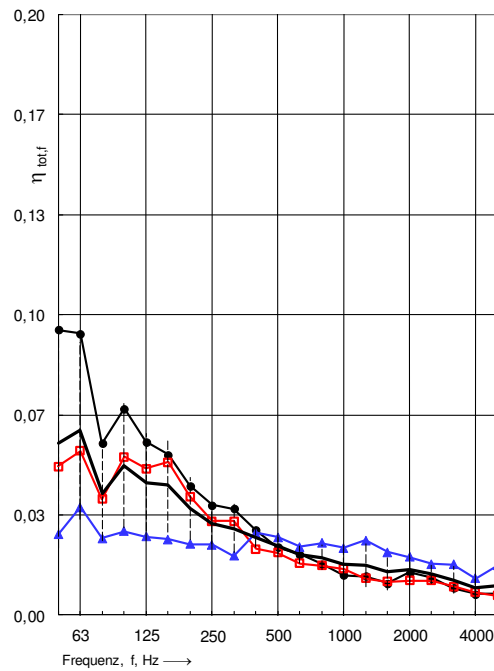
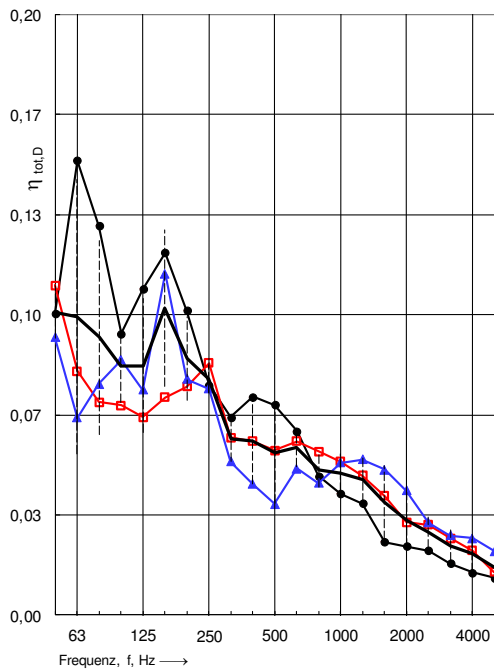
Prüf.Nr.:	Flanke	Trennwand	$\frac{m^2_{Wand}}{m^2_{Decke}}$	Abmessungen
1a_B_01	200 LFE	80 BSP	0,98	$l_{ij} = 4,3 \text{ m}$
1a_B_02	200 LFE	2x18 GF / 140 BSP / 2x18 GF	3,98	$S_{Dd} = 10,8 \text{ m}^2$
1a_C_01	196 Rippe Q3	80 BSP	0,8	$S_F = 21,5 \text{ m}^2$
				$S_i = 20 \text{ m}^2$



1a\_B\_01 
1a\_B\_02 
1a\_C\_01

—
- - -

f in Hz	$\eta_{tot,D}$			$\bar{x}$	$\sigma$	f in Hz	$\eta_{tot,f}$			$\bar{x}$	$\sigma$
50	0,110	0,100	0,092	0,101	0,009	50	0,049	0,095	0,027	0,057	0,035
63	0,081	0,151	0,066	0,099	0,046	63	0,055	0,094	0,036	0,061	0,029
80	0,071	0,130	0,077	0,092	0,032	80	0,039	0,057	0,026	0,040	0,016
100	0,070	0,094	0,085	0,083	0,012	100	0,053	0,069	0,028	0,050	0,021
125	0,066	0,108	0,075	0,083	0,022	125	0,049	0,058	0,026	0,044	0,016
160	0,072	0,121	0,114	0,102	0,026	160	0,051	0,053	0,025	0,043	0,016
200	0,076	0,101	0,079	0,085	0,014	200	0,039	0,043	0,024	0,035	0,010
250	0,084	0,077	0,075	0,079	0,005	250	0,031	0,037	0,023	0,030	0,007
315	0,059	0,066	0,051	0,059	0,007	315	0,031	0,035	0,020	0,029	0,008
400	0,058	0,073	0,044	0,058	0,015	400	0,022	0,028	0,027	0,026	0,003
500	0,055	0,070	0,037	0,054	0,017	500	0,021	0,023	0,026	0,023	0,003
630	0,058	0,061	0,049	0,056	0,006	630	0,017	0,020	0,023	0,020	0,003
800	0,054	0,046	0,044	0,048	0,006	800	0,017	0,017	0,024	0,019	0,004
1000	0,051	0,040	0,051	0,047	0,006	1000	0,015	0,013	0,022	0,017	0,005
1250	0,046	0,037	0,052	0,045	0,007	1250	0,012	0,013	0,025	0,017	0,007
1600	0,040	0,024	0,048	0,037	0,012	1600	0,011	0,011	0,021	0,014	0,006
2000	0,031	0,023	0,041	0,032	0,009	2000	0,011	0,014	0,019	0,015	0,004
2500	0,030	0,021	0,031	0,027	0,005	2500	0,011	0,012	0,017	0,014	0,003
3150	0,026	0,017	0,027	0,023	0,005	3150	0,009	0,009	0,017	0,012	0,004
4000	0,021	0,014	0,026	0,020	0,006	4000	0,008	0,007	0,012	0,009	0,003
5000	0,014	0,012	0,021	0,016	0,005	5000	0,006	0,007	0,016	0,010	0,006



**Abbildung 18**  $\eta_{tot}$  : Horizontaler T-Stoß – Hohlkastendecke durchlaufend, Trennbauteil z.T. mit Beplankung: Messdaten  $\eta_{tot,D}$  mit zugehörigen Messkurven (links), Messdaten  $\eta_{tot,f}$  mit zugehörigen Messkurven (rechts)